

斜張橋形式連続合成桁について

大阪工業大学 ○赤尾親助
同 大学院 栗田章光
栗本鉄工所 村田広治

1. まえがき

連続合成桁の設計施工については、中間支承部の床版コンクリートに生じる引張応力に対する処置が従来より問題とされ、種々の方式が工夫されてきた。その一つとしては、支承の上昇、降下、あるいはPC鋼材を用いるプレストレスにより、引張応力を許容範囲内に保て、全長間にわたり全断面合成とする方法があるが、設計施工が複雑化する割にスパンが延びないことより、現在、この方式の連続合成桁の架設は、あまり見られないようである。また、一方には、引張応力の生じる床版コンクリート部を、鉄筋コンクリート部よりも同様の考え方に基き、コンクリートの引張抵抗を無視し、中に配置した橋軸方向鉄筋によって、ひびわれを許容限度内に保てることとし、従つて負曲げモーメント領域では鋼部断面のみを有効とする断続合成桁、もしくは部分合成桁形式がある。この方式は、従来より多数架設されている非合成の連続桁が、実際上、大部分が合成桁としての力学的性状を示していると信ぜられる点からしても、一つの合理的な解決法であるか、可能スパンは、全長間全断面合成の方式に比べて小さくなることはさけられない。

著者は、斜張橋形式と連続合成桁とを組み合せ、斜張ケーブルを利用して橋桁にプレストレスを与えることにより、全長間を全断面合成の連続桁として架設する工法を提案¹⁾し、検討を行つて來た。本方式は、つきのような特徴をもち、鋼床板を用いた斜張橋と比肩し得る程度の空間とすることが可能であると信ぜられる。

- i) 斜張ケーブルによるプレストレスは、ケーブル張力が桁に対し大きく偏心して作用するためには、プレストレス力が比較的小さくても済む。
- ii) プレストレス導入の時期と大きさを適当にえらぶことによつて、橋体部材の強度を十分に利用し得るような断面力の再配分が可能となる。
- iii) ケーブルが定着されている状態では、構造系は斜張橋となるから、その特性としての断面力の減少が期待できる。
- iv) 上記の特性を活用することにより、可能スパンはかなり増大できる。

著者等は、種々のスパンの本形式橋梁について、空間比、ケーブル形状、床版打込、プレストレス導入などについて、施工順序と関連させながら試算を行い、一応の検討を終えたのでその結果を報告する。

2. 構造および施工方法

本構造形式では、従来の連続合成桁の構造部分に、さらに塔、ケーブル、ケーブル定着部が追加されることになる。従つて、鋼主桁としてI形断面を採るものとすれば、二主桁形式が適當であり、この形式が断面としては、最も経済的であると考えられる。通常の斜張橋に見られるように、合成箱

桁を中央に置いた単列形式(図-1b)も可能であり、美観的に、また下部構造の点にも特徴があるが、設計試算は、一応二主桁形式を対象として行なっている。

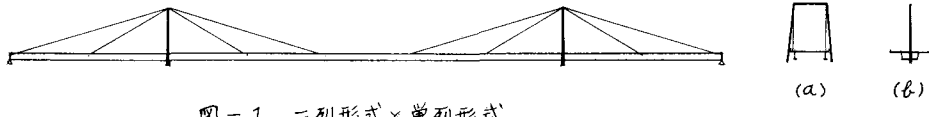


図-1 二列形式と單列形式

通常の連続合成桁程度のスパンの場合、プレストレス力は比較的小さく済むので、ケーブルとしては、PC鋼材数組で足りると考えられ、その場合、ポストテンション方式のPC部材と同様の定着方法ならびに構造を用いることができる。定着ブロックと鋼部との結合には、スタッドアンカーなどが利用できると考えられる。スパンを増大した場合には、ケーブル張力は1000tのオーダーとなるので(試算設計2および3), PWS等の利用が有利となる。

プレストレスの導入を含む施工方法としては、種々の方法が考えられる。

i) 鋼桁架設 — 金床版打込養生 — ケーブル緊張 — 治荷重作用(図-2a)

この方法では、ケーブル緊張時にケーブル定着部、およびその外側に作用する負曲げモーメントにより、床版コンクリートに引張応力が生ずることになるので、支点の上昇、降下を併用する必要が生じ、施工が複雑化することになる。

ii) 鋼桁架設 — 中間支点部床版打込養生 — ケーブル緊張 — 支間部床版打込養生 — 治荷重作用(図-2b)

この方法では、床版コンクリートの打込養生が二段階になるが、最も可能性の高い方法であり、本文の考察は、この方式について行われている。

iii) 鋼桁架設 — ケーブル緊張 — 支間部床版打込養生 — ケーブル緊張力弛張 — 中間支点部床版打込養生 — ケーブル再緊張 — 治荷重作用(図-2c)

プレストレスを鋼部応力の再配分にも有利に用いようという考え方で、この方法では、正曲げモーメント域においても、或程度死荷重合成される形となるが、最初のケーブル緊張は、鋼桁のみの状態で行われる点に問題があり、プレストレスも導入、解放、再導入と繰り返されながら、設計施工とともに複雑化する欠点もある。

さて、ii) の方法を採る場合、最初に打ち込まれる中間支点部の床版荷重をうける構造系を連続鋼桁とする場合と、斜張橋系とする場合を考えられ、試算1²は図-3a、試算2,3²は図-3bをとつてある。

ケーブル緊張時には、図-4aに示すような追加支点反力が生じ、この反力は、床版に導入された3プレストレスを減らす方向に影響

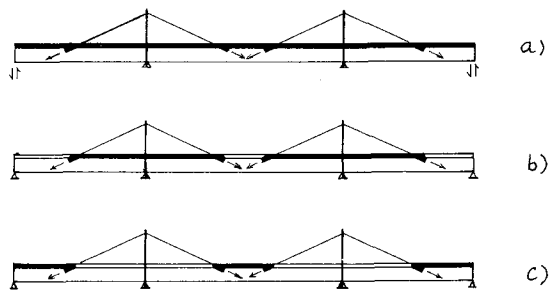


図-2 施工方法



図-3



図-4

し、またケーブル定着部付近、およびその外側に負曲げモーメントが作用するため、先端のケーブル定着部付近の床版コンクリートに引張応力を生じさせることになるが、その反面、正曲げモーメント領域の鋼断面に対しては、有利なプレストレスを与えることになる。この影響をなくすことか、必ずしも有利であるとは言えないが、図-4bのように、中央全間のケーブル定着点付近にねじヒンジを設けることとすれば、プレストレス導入は、静定の張出術に対して行われることになるので、追加反力の影響はなくなる。ねじヒンジを設ける架設工法は、桁に対する死荷重応力調整の目的で、通常の斜張橋においても行われることもあり、検討の余地ある方法ではあるが、本文の試算設計においては、構造の複雑化をさけるため、連続鋼析を採り行っている。

3. 構造解析について

本形式では、プレストレスを用いる他の橋梁構造同様、プレストレスの導入、その他の荷重をうける段階に応じて、構造系、ならびに断面諸値が変化して行く。従つて、それらのそれぞれの系における影響線を求めておき、設計を進めることになるが、それについては、一般の不静定構造における諸解法を利用すればよく、試算設計については、剛性マトリックス法を用い、一部に弾性方程式法を併用している。ここでは、合成構造に特有な床版コンクリートのクリープ、収縮の影響に関する解析、ならびに、床版の有効幅に関する解析をあげることとする。

3.1 コンクリートの収縮、クリープの影響

F. Chichokai 式に基く安宅の方法によつて²⁾いるが、ケーブルを有するため、軸力による応力、ならびに軸縮み歪を考慮しなければならない。不静定構造における床版コンクリートのクリープ、収縮の影響は、つきの2段階に分けて求めるものとする。

A. 不静定力に変化が生じないとした場合の応力変化

a) クリープの影響

$$F. Chichokai の微分方程式, \quad \frac{d\tilde{\sigma}_t}{dt} = \frac{\tilde{\sigma}_t \cdot d\varphi_t}{E_c \cdot dt} + \frac{1}{E_c} \cdot \frac{d\tilde{\epsilon}_t}{dt} \quad (1)$$

ここに $\tilde{\sigma}_t$: 時間 t におけるコンクリートの応力度、 $\tilde{\epsilon}_t$: 時間 t におけるコンクリートのひずみ度、 φ_t : 時間 t におけるコンクリートのクリープ度、 E_c : コンクリートのヤング率(一定とする)、において、

$$\varphi_t = \varphi(1 - e^{-kt}) \quad (2)$$

と表わし、当初応力度 $\tilde{\sigma}_0$ がクリープにより $\Delta\tilde{\sigma}$ だけ変化した場合のひずみを近似的に求めよ。

$$\tilde{\epsilon}_t = \tilde{\epsilon}_0 + \Delta\tilde{\epsilon}(1 - e^{-kt}) \quad (3)$$

とおき、(2),(3)式を(1)式に代入し、 $t=0 \sim \infty$ まで積分すれば

$$\varepsilon_{\infty} = \frac{1}{E_c} \left(\tilde{\varepsilon}_0 (1+\varphi) + \Delta \varepsilon \left(1 + \frac{\varphi}{2} \right) \right) \quad (4)$$

当初応力度 $\tilde{\varepsilon}_0$ に応ずるひずみ度 $\tilde{\varepsilon}_0$ よりの変化ひずみを、 $\Delta \varepsilon$

$$\text{よければ、 } \Delta \varepsilon = \varepsilon_{\infty} - \tilde{\varepsilon}_0 = \left\{ \tilde{\varepsilon}_0 \varphi + \Delta \varepsilon \left(1 + \frac{\varphi}{2} \right) \right\} / E_c$$

これより、変化応力度 $\Delta \sigma$ は、 $E_{c1} = E_c / (1 + \frac{\varphi}{2})$ として、

$$\Delta \sigma = E_{c1} \cdot \Delta \varepsilon = \tilde{\varepsilon}_0 \cdot 2\varphi / (2 + \varphi) \quad (5)$$

$\Delta \varepsilon$ は、平面ひずみの条件から、断面の上下線の変化ひずみの関数として、 $\Delta \varepsilon = \Delta \varepsilon_u \cdot y/h + \Delta \varepsilon_e \cdot (h-y)/h$ (6)

(5)式より合成断面の変化応力は、

コンクリート断面については、鋼断面については、

$$\Delta \tilde{\varepsilon}_{cy} = E_{c1} \Delta \varepsilon - \frac{2\varphi}{2+\varphi} \tilde{\varepsilon}_{cy}, \quad \Delta \tilde{\varepsilon}_{sy} = E_s \Delta \varepsilon \quad (7)$$

(7)に(6)を代入し、合成全断面については、つりあい条件、 $\int_{A_v} \Delta \sigma \cdot dA = 0$ 、および $\int_{A_v} \Delta \sigma \cdot y \cdot dA = 0$ を適用すれば、変化ひずみが求まる。

$$\Delta \varepsilon_u = \frac{N_c}{E_s} \frac{2\varphi}{2+\varphi} \left(\frac{d_{c1} y_{c1}}{I_{v1}} + \frac{1}{A_{v1}} \right), \quad \Delta \varepsilon_e = \frac{N_c}{E_s} \frac{2\varphi}{2+\varphi} \left(- \frac{d_{c1} y_{s1}}{I_{v1}} + \frac{1}{A_{v1}} \right) \quad (8)$$

ここに、 $\int_{A_c} \tilde{\varepsilon}_{cy} \cdot dA = N_c$ 、 $\int_{A_c} \tilde{\varepsilon}_{sy} \cdot y \cdot dA = N_c (d_{c1} + y_{s1})$ 、 I_{v1} 、 A_{v1} は、 $n_1 = n (1 + \frac{\varphi}{2})$ を用いて求めた鋼部換算の合成断面2次モーメント、および換算断面積、図-5の V_1 は、ヤング率比を n_1 としたときの合成回心半径を示し、 d_{c1} 、 y_{s1} 、 y_{c1} は同図を参照。(8)式の変化ひずみを(7)に代入すれば、変化応力度は、

$$\begin{aligned} \text{床版上線 } \Delta \tilde{\varepsilon}_{cu} &= \frac{N_c}{n_1} \frac{2\varphi}{2+\varphi} \left(\frac{d_{c1} y_{c1}}{I_{v1}} + \frac{1}{A_{v1}} \right) - \tilde{\varepsilon}_{cu} \frac{2\varphi}{2+\varphi}, & \text{鋼部上線 } \Delta \tilde{\varepsilon}_{su} &= N_c \frac{2\varphi}{2+\varphi} \left\{ \frac{d_{c1}}{I_{v1}} (h_s - y_{s1}) + \frac{1}{A_{v1}} \right\} \\ \text{床版回心 } \Delta \tilde{\varepsilon}_{co} &= \frac{N_c}{n_1} \frac{2\varphi}{2+\varphi} \left(\frac{d_{c1}^2}{I_{v1}} + \frac{1}{A_{v1}} \right) - \tilde{\varepsilon}_{co} \frac{2\varphi}{2+\varphi}, & \text{鋼部下線 } \Delta \tilde{\varepsilon}_{se} &= N_c \frac{2\varphi}{2+\varphi} \left\{ - \frac{d_{c1} y_{s1}}{I_{v1}} + \frac{1}{A_{v1}} \right\} \end{aligned} \quad (9)$$

N_c はクリーケーションをあくす当初の持続荷重状態における、床版コンクリートに作用している圧縮力の合力で、曲げモーメント M_d 、軸力 N_d が作用している場合は、 $N_c = \left(\frac{N_d}{A_v} + \frac{M_d}{I_v} d_c \right) \frac{A_c}{n}$ (10)

ここに、 A_v 、 I_v は、鋼部換算の断面値、応力および、ひずみは、圧縮を正にとつてある。

b). 収縮の影響

収縮ひずみが拘束されると、クリーケーション現象が生じ、その影響を緩和する働きをする。クリーケーション度としては $\varphi_2 = 2\varphi$ にとる。収縮によって生ずる応力度変化を $\Delta \sigma$ とすれば、変化ひずみは、 $\Delta \sigma$ に対しては E_c の代りに、 $E_{c1} = E_c / (1 + \frac{\varphi}{2})$ を考え、(11)

$$\Delta \varepsilon = \varepsilon_a + (\Delta \sigma / E_{c1}) \quad (11)$$

従つて、応力度変化は、コンクリート断面については $\Delta \tilde{\varepsilon}_{cy} = -E_{c1} (\varepsilon_a - \Delta \varepsilon)$ (12)

$$\text{鋼断面については, } \Delta \tilde{\varepsilon}_{sy} = E_s \Delta \varepsilon \quad (12)$$

前同様に、(12)式に(6)を代入し、全断面についてのつりあい条件を適用すれば、

$$\Delta \varepsilon_u = \varepsilon_a \frac{A_c}{n_1} \left(\frac{d_{c1} y_{c1}}{I_{v1}} + \frac{1}{A_{v1}} \right), \quad \Delta \varepsilon_e = \varepsilon_a \frac{A_c}{n_1} \left(- \frac{d_{c1} y_{s1}}{I_{v1}} + \frac{1}{A_{v1}} \right) \quad (13)$$

変化応力度は、

$$\begin{aligned} \text{床版上線 } \Delta \tilde{\varepsilon}_{cu} &= \varepsilon_a E_{c1} \left\{ \frac{A_c}{n_1} \left(\frac{d_{c1} y_{c1}}{I_{v1}} + \frac{1}{A_{v1}} \right) - 1 \right\}, & \text{鋼部上線 } \Delta \tilde{\varepsilon}_{su} &= \varepsilon_a E_{c1} A_c \left\{ \frac{d_{c1}}{I_{v1}} (h_s - y_{s1}) + \frac{1}{A_{v1}} \right\} \\ \text{床版回心 } \Delta \tilde{\varepsilon}_{co} &= \varepsilon_a E_{c1} \left\{ \frac{A_c}{n_1} \left(\frac{d_{c1}^2}{I_{v1}} + \frac{1}{A_{v1}} \right) - 1 \right\}, & \text{鋼部下線 } \Delta \tilde{\varepsilon}_{se} &= \varepsilon_a E_{c1} A_c \left\{ - \frac{d_{c1} y_{s1}}{I_{v1}} + \frac{1}{A_{v1}} \right\} \end{aligned} \quad (14)$$

B. クリー -7° , 収縮に基く不静定力変化によつて生じる断面力変化 ΔM , および ΔN による応力変化つぎにあげるような断面の曲げ変形の変化量、ならびに軸縮変化量による不静定力変化 ΔX を求め、それより合成軸断面力変化 ΔM , および ΔN による軸応力を求め、前項A.により求めた変化応力に加算すれば、全応力変化が求められる。

a) 断面の曲げ変形の変化量としては、当初 $\frac{d\theta}{dx} = \frac{M_d}{EI_v}$

クリー -7° による断面の角変形

収縮による断面の角変形

$$\Delta\left(\frac{d\theta}{dx}\right) = \frac{\Delta\varepsilon_u - \Delta\varepsilon_e}{h} = \frac{N_c d_{v1}}{E_s I_{v1}} \cdot \frac{2\varphi}{2+\varphi}, \quad \Delta\left(\frac{d\theta}{dx}\right) = \frac{\Delta\varepsilon_u - \Delta\varepsilon_e}{h} = \varepsilon_s \frac{A_c d_{v1}}{n_i I_{v1}} \quad (15)$$

b) 断面の軸方向ひずみの変化量としては、当初 $\frac{du}{dx} = \frac{N_d}{EA_v}$

クリー -7° による軸方向ひずみ量 (合成圓心奥 V_1 において) $\Delta\left(\frac{du}{dx}\right) = -\frac{N_c}{E_s A_{v1}} \cdot \frac{2\varphi}{2+\varphi}$

収縮による軸方向ひずみ量 (合成圓心奥 V_1 において) $\Delta\left(\frac{du}{dx}\right) = -\varepsilon_s \frac{A_c}{n_i A_{v1}}$

$$\left. \begin{array}{l} \\ \end{array} \right\} (16)$$

ΔM , および ΔN による合成軸断面応力度を求める場合、これらは時間と共に変化があるので、ヤング率比を、 $n_i = n(1 + \frac{\varphi}{2})$ とした合成断面諸値を用いるものとする。

3.2 偏心軸力をうける合成床版の有効幅

本構造形式²⁾は、プレストレスは主軸位置において集中的に導入されるから、床版内にPC鋼材を分散配置する場合と異なり、床版内のプレストレス応力の分布状態が、特に偏心の大きな場合などに考慮を要する問題³⁾があると考えられた。プレストレスによる軸力をうける場合の床版の有効幅に関しては、H. Bechert の解析⁴⁾があるが、軸力が偏心して作用する形では取扱つておらず、合成軸²⁾では、合成圓心位置は有効幅によって変つてくよため、鋼部圓心位置に床版が取付けられるよな特殊な場合を除き、一般には正確²⁾ない。⁵⁾そこで H. Bechert の方法を、このような場合に対して拡張することを試みた。

a) 支叉格子

床版を主軸上線²⁾結合されたシャイベ²⁾と考え、これを無数の主、横軸からなる交叉格子とみなして、その軸方向変位 u を固有関数に展開すれば²⁾、 $u = \sum A_i \psi_i^i(y) \Phi_i(x) \cdot B_i$ (17)

ここに $\Phi_i = \cos \frac{i\pi x}{L}$, $A_i = \left(\int_0^L \Phi_i^2 dx \right)^{-1} = \frac{2}{L}$, B_i は荷重を固有関数に展開したときの係数、 $\psi_i^i(y)$ は次の微分方程式より求められる。 $E_c J_y \frac{d^4 u}{dy^4} + C_x^i u = 0$ (18)

ここに $E_c J_y$ は横けたの曲げ剛度、 C_x^i は重²⁾に相応するバキ常数²⁾である。

$4\gamma_i^i = C_x^i / E_c J_y$ とおき、図-7 の場合の ψ を求めると、

$$\psi_A^i(y) = \frac{1}{4\gamma_i^i E_c J_y} (f_1^i \cosh \gamma_i^i y \cos \gamma_i^i y + f_2^i \sinh \gamma_i^i y \sin \gamma_i^i y) \quad (19)$$

$$f_1^i = \frac{\cosh \gamma_i^i b \sin \gamma_i^i b + \sinh \gamma_i^i b \cos \gamma_i^i b}{\sinh^2 \gamma_i^i b + \sin^2 \gamma_i^i b}, \quad f_2^i = \frac{\cosh \gamma_i^i b \sin \gamma_i^i b - \sinh \gamma_i^i b \cos \gamma_i^i b}{\sinh^2 \gamma_i^i b + \sin^2 \gamma_i^i b}$$

$$y = b \text{ では } \psi_A^i(b) = \frac{f_{3,A}^i}{4\gamma_i^i E_c J_y}, \quad f_{3,A}^i = \frac{\sinh \gamma_i^i b \cosh \gamma_i^i b + \sinh \gamma_i^i b \cos \gamma_i^i b}{\sinh^2 \gamma_i^i b + \sin^2 \gamma_i^i b} \quad (20) \quad \text{また, } \int_0^b \psi_A^i(y) dy = \frac{1}{4\gamma_i^i E_c J_y} \cdot \frac{1}{C_x^i}$$

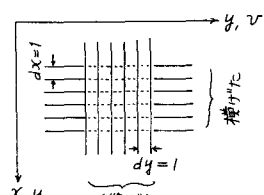


図-6 交叉格子

f) 偏心軸力が作用する場合の有効幅

軸力は鋼部圓心より $e(x)$ だけ偏心して作用するものとする。

床版の補剛作用により、版中には軸力 X が、同時に、鋼部上縁の接觸線に沿い、引張力が作用する。接觸線位置における鋼部のひずみは、 $\epsilon_R = \frac{1}{E_s I_s} \{ V(r + e - d) - X(r^2 + d^2) \}$, $r^2 = I_s / A_s$

図-2 の場合について、有効幅 $2\lambda_e$ の合成断面を考える。
と、床版との接觸線位置におけるひずみは、図-7 を参照して

$$\epsilon_V = \frac{V}{E_s A_V} + \frac{V}{E_s I_V} (e - d + d_c), \quad \epsilon_R \text{ と } \epsilon_V \text{ を等置し、}$$

$$A_V = A_s + \frac{2\lambda_e t}{n}, \quad A_V d_c = A_s d, \quad I_V = A_s (r^2 + d^2 - d \cdot d_c) \text{ の関係を用い}$$

$$\text{ると、} \quad \lambda_e = \frac{n I_s}{2t} \cdot \frac{X}{V(r^2 + e \cdot d) - X(r^2 + d^2)} \quad (21)$$

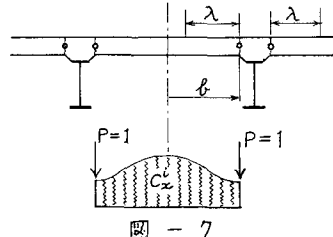


図-7

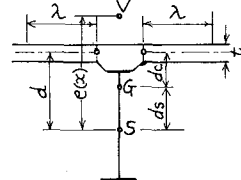


図-8

軸力 V は一定、偏心量は $e(x)$ とし、つきのように Fourier級数に展開する。

$$V = V \sum \frac{4}{i\pi} \sin \frac{i\pi x}{L}, \quad V e = V \sum e_i \sin \frac{i\pi x}{L} \quad (22)$$

$$\text{版中の圧縮力の合力は、鋼部に作用する } X \text{ に等しいことより、} \quad X = \sum \frac{4}{i\pi} X_i \sin \frac{i\pi x}{L} \quad (23)$$

交叉格子縦筋に作用する軸圧縮力は、接觸線位置における

$$n_x(y=b) = \sum \frac{2Y_i f_{s,A}}{i\pi} X_i \sin \frac{i\pi x}{L} \quad (24)$$

ひずみの適合条件 $(\epsilon_R)_x = (\epsilon_c)_x$ にこれららの関係を代入すれば、 X_i が得られる。
(23)より X を得て
(21)に代入すれば、結局

$$\lambda_e = \sum \frac{(4/i\pi)r^2 + e_i d}{d^2 + r^2 + (n I_s / 2t) Y_i f_{s,A}^2} \sin \frac{i\pi x}{L} / \sum \frac{(4/i\pi)r^2 + e_i d}{d^2 + r^2 + (n I_s / 2t) Y_i f_{s,A}^2} \sin \frac{i\pi x}{L} \quad (25)$$

(25)式において、 $e_i = 0$ とおけば、鋼部圓心位置に軸力が作用する場合、 $e_i = 4e/i\pi$ とおけば、一定偏心量の場合となるが、この両者に対する有効幅は算しく、

$$\lambda_e = \sum \frac{1}{i} \frac{1}{d^2 + r^2 + (n I_s / 2t) Y_i f_{s,A}^2} \sin \frac{i\pi x}{L} / \sum \frac{1}{i} \frac{1}{d^2 + r^2 + (n I_s / 2t) Y_i f_{s,A}^2} \sin \frac{i\pi x}{L} \quad (26)$$

また、床版コンクリートの収縮を、鋼部が拘束することによる変化応力の分布に関する有効幅についても、結果は(26)式に一致するが、この場合は、同式の n を $n_1 = n(1 + \frac{\phi}{2})$ にしなければならない。これらは、有効幅が床版コンクリートと鋼部との接觸線におけるひずみの通過状態のみに影響され、その大きさには無関係であることを想起すれば、当然のことであることが知られる。また(26)式において、 $d=0$ とすれば、H. Behert の求めた一定軸力の場合の式に一致する。さらに、(25)式の分子子に軸力 V を乘じ、 $V \rightarrow 0$, $V e_i = m_i$ とおけば、曲げをうける場合の有効幅の式が得られる。

$$\sum \frac{m_i}{d^2 + r^2 + (n I_s / 2t) Y_i f_{s,A}^2} \sin \frac{i\pi x}{L} / \sum \frac{m_i Y_i f_{s,A}}{d^2 + r^2 + (n I_s / 2t) Y_i f_{s,A}^2} \sin \frac{i\pi x}{L} \quad (27)$$

ここで $m = \sum m_i \sin(i\pi x/L)$ (28), m は軸に作用する曲げモーメントである。以上により、(25)式は、あらゆる場合を包含していることがわかる。この解析に基き、種々の荷重状態についての計算を行った結果、示方書規定の有効幅算定のもとになつている曲げをうける状態に比し、偏心プレストレスの場合も、ほとんど差異のないことが認められたが、ケーブル定着点の近くでは、当然

応力は集中する故、適当な補強を行っておく必要がある。

4. 試算設計について

以上の考察にもとづき、斜張橋形式の連続合成桁道路橋について試算を行つたものである。その概要を述べる。

A. 試算設計 1

比較的小差間の2径間連続合成桁を斜張橋形式とする場合を想定して行つたものである。諸元は図-9に示す通りで、有効幅員6m、 $2 \times 40\text{m}$ の一等橋である。中間支点における断面応力度を、表-1にまとめて示す。

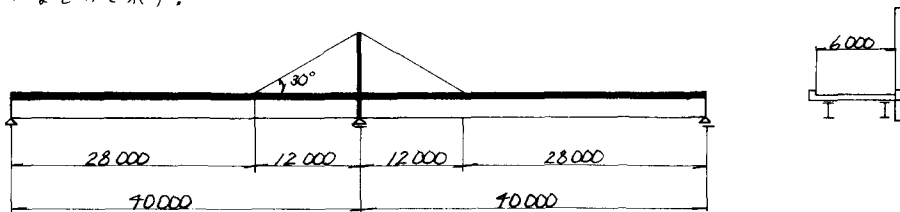


図-9. 試算設計1の仮定諸元。

表中の荷重段階番号は

1. 鋼桁架設時の応力
2. 中間支点部の床版打設時応力
3. プレストレス導入時の応力
4. 支間部の床版打設時の応力
5. 橋体完成後に作用する付加死荷重と活荷重による応力
6. 7. 持続荷重下におけるクリーケーク、収縮の影響を表わす。

本橋ケーブル張力(各主桁当り)は、プレストレス導入時で約160t、全荷重作用時で200tと比較的小小さく、また、中間支点部における鋼桁断面は、本試算の出発点となつた。同橋員が支点上昇下降法を用いた二等橋、 $2 \times 32.6\text{m}$ の断面を約12%増加した程度で足りてあり、本形式により、鋼断面の縮小、スパンの増大が可能であることが十分うがかわれる。

なお、この試算に併せて、縮尺1/40の真鍮析を用いた模型実験も実施している。

B. 試算設計 2

斜張橋本来の特性を活かす形の寸法比をとり、スパンを増大したもので、橋体諸元は、図-10に示すような有効幅員10mの一等橋である。施工順序は、図-11に示すように、鋼桁自重および床版第1期打設をうける系は、鋼桁のみの斜張橋系、つきに床版Iの硬化後、ケーブルを緊張し、以後に作

表-1 応力集計表

荷重段階	応力	支点上断面			
		σ_{cu}	σ_{co}	σ_{su}	σ_{se}
1				-399	341
2				-404	346
3		165	145	712	-2546
4		-66	-56	-412	1485
5		-55	-46	-252	1385
6 不静定力に変化なし	クリ-7° 収縮	-45	-37	448	-85
	収縮	-8	-8	162	-15
7 不静定力の変化によるもの	クリ-7° 収縮	-9	-8	-80	272
	収縮	-4	-4	-74	159
8	1+2			-864	688
9	3+3	165	145	-92	-1859
10	9+4	99	90	-407	-373
11	10+5	43	44	-659	1012
12	11+6	-11	-2	-29	865
13	12+7	-25	-14	-190	1317

用する死荷重等による負曲げモーメントによる床版引張応力を、許容値内にあわめうるに必要な大きさのプレストレスを導入する。本試算では、付加張力は外側ケーブルに+100t、内側ケーブルに-75tを与えることになっている。床版は2期打設を経り、コンクリートが硬化した後に作用する後死荷重、活荷重に対しては、構造系は全空間合成斜張橋として働く。

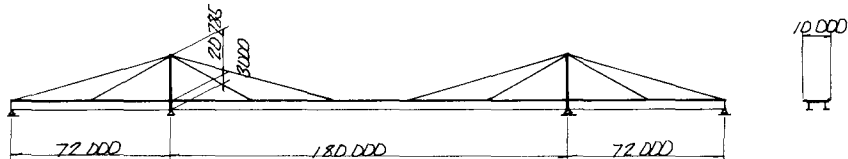


図-10. 試算設計2の仮定諸元。

図-12は、各荷重段階における主桁曲げモーメントを示している。荷重段階番号に対し、それをうけた構造系は(図-11)、つきの通りである。

- ① 鋼桁自重 : A
- ② 床版Ⅰ : A
- ③ プレストレス : B
- ④ 床版Ⅱ : C
- ⑤ 後死荷重 : D
- ⑥ 活荷重(M_{min}) : D
- ⑦ 活荷重(M_{max}) : D

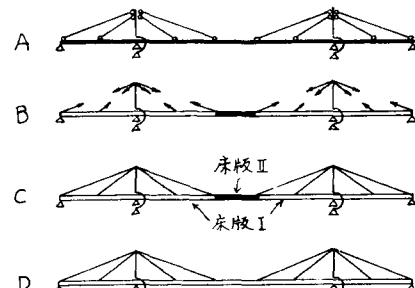


図-11. 構造系の推移

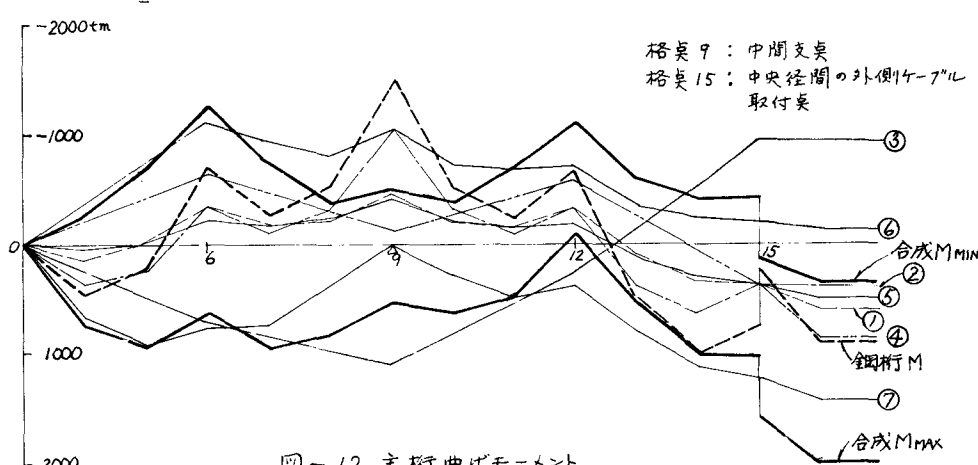


図-12 主桁曲げモーメント

試算設計2の平均主桁断面は、SM50を用ひて、上フランジ 450×22 、下フランジ 1000×50 、ウエイ 3000×12 程度となる。最大反力は、塔 $1000t$ 、中間支点 $460t$ 、端支点 $2t$ 、これは常時 $75t$ の負反力を生ずる。概算鋼重は $1100t$ となるが、比較計算の結果、これを同形式の鋼床版橋とした場合は約 $1300t$ 、また同一スパン割りの連続トラスとすれば約 $1450t$ となり、本形式の特徴が十分出ているものと思われる。⁶⁾

C. 試算設計3.

試算設計2と同一の構造であるが、車道幅員を13mとし、両側に1.5mの歩道を設けて、径間長をさらに増大したものである。橋体諸元は図-13に示す通りで、全径間長は378mとなっている。各荷重段階と、それをうける構造系は、試算設計2と同様に採用されている。

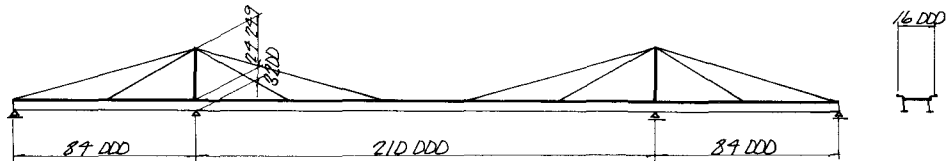
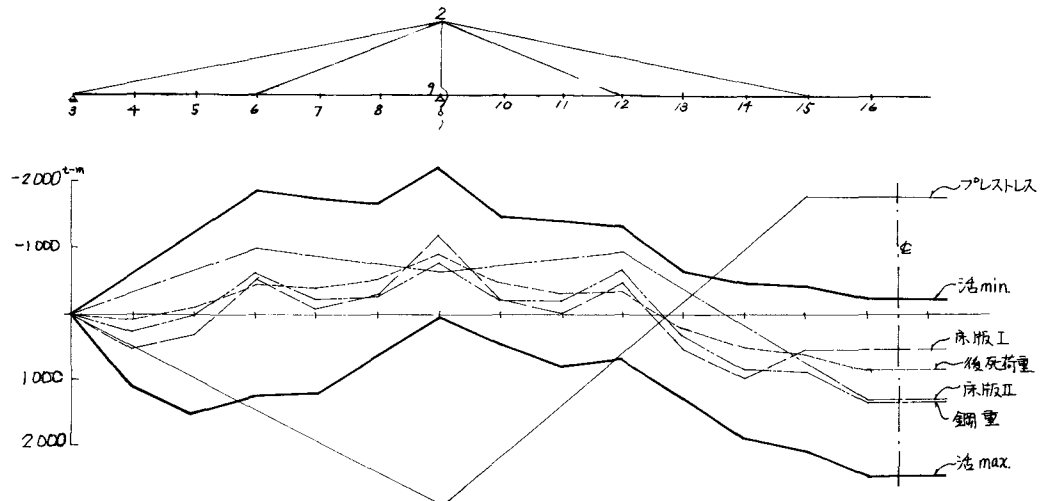


図-13. 試算設計3の仮定諸元。

本橋では、死荷重モーメントを軽減するため、比重1.9の軽量コンクリートを使用することとしている。床版工を打設、養生後にプレストレスを導入するが、一方、外側ケーブルに200t、内側ケーブルには変化なしとなる。ケーブルを順次緊張するときは、他のケーブル張力が変化するから、一度に全ケーブルを操作するのではなくければ、変化なしの内側ケーブルも矢張り緊張力を加える必要があり、厄介なようであるが、逆にこれを利用してケーブル張力の自由な調整が可能になる。本稿



500	750	750	1,050	600	U.FIG.巾
25	20	39	50	28	"厚
18	15	18	15		Web厚
500	1200	900	1200	720	L.FIG.巾
25	55	92	55	32	"厚

支点	最大反力 t	ケーブル最大張力 t		使用PWS
		2~3	2~6	
1	1590	1251	7-PWS 18.9 (253 mm²)	
3	223 (81枝)	227	7-PWS 19.0 (253 ")	
9	756	1086	7-PWS 16.9 (253 ")	
		1072	7-PWS 16.9 (253 ")	

図-14. 構造番号、主桁曲げモーメント、主桁断面表、使用ケーブル表。

のプレストレス量は、後述の理由²⁾、尚検討の余地がある。図-14に、格卓番号、各荷重段階における主桁曲げモーメント図、主桁断面、ならびに使用ケーブルの概要を示した。試算設計2, 3ともに塔高は低めに選ばれており、ケーブル傾斜が小さく、プレストレス時に働く軸圧縮力が、床版の引張応力を打ち消すのに大きな役割をしているが、その影響のためクリープの影響が通常のものに比べ大きくなっているようである。中央径間の外側ケーブルの定着点（格卓15）の付近では、プレストレス導入時に、床版に若干の引張応力が生じることになるので²⁾、この付近の床版打設を床版IIの施工時にに行うことの考慮が必要である²⁾。表-2に主要断面の応力の集計結果を示すが、径間に中央に近い格卓16²⁾、前述のクリープの影響²⁾、持続荷重状態において床版に僅かながら引張か押す結果を示しているが、これはプレストレス量の調整を検討すれば、改善すること可能と考えられる。本橋には、ケーブルにPWSを用いることとし、被覆鋼量は、ケーブルワイヤー重量240tを含めて、約1800tとなった。尚、主桁断面の材質はSM58を使用するものとしている。

表-2 主要断面応力集計表

応力	格卓6				格卓9				格卓16				
	T <u>eu</u>	T <u>co</u>	T <u>su</u>	T <u>se</u>	T <u>eu</u>	T <u>co</u>	T <u>su</u>	T <u>se</u>	T <u>eu</u>	T <u>co</u>	T <u>su</u>	T <u>se</u>	
1 鋼桁架設			595	-738			581	-739			-1780	288	
2 床版I打設			758	-678			1159	-972			-605	315	
3 プレストレス	-35.8	-28.3	-139	779	-665	-50.7	-283	789		2057	-1232		
4 床版II打設	10.6	5.5	13	-387	-1.2	-3.0	-27	-667		-1751	870		
5 後死荷重	2.6	0.3	-8	-192	12.7	7.7	29	-358	-17.5	-11.8	77	109	
6 活荷重I	-21.0	-19.1	-5.5	787	2.5	0.7	5	17	-51.6	-39.7	-138	1189	
7 活荷重II	26.5	16.7	55	-777	33.5	20.7	68	-700	5.8	3.9	16	-133	
8 不静定力のクリープ ²⁾	1.1	2.1	-217	26	11.5	5.7	-253	65	9.1	7.1	-87	17	
変化なし	收縮	2.1	3.0	-273	37	2.5	3.6	-286	42	2.7	3.8	-281	17
不静定力のクリープ ²⁾	17.2	13.9	195	-337	28.6	29.0	239	-562	6.8	5.2	50	-176	
変化による收縮	0.3	0.2	5	-8	0.5	0.9	7	-12	0.9	0.3	4	-13	
10 福度変化	±0.6	±3.2	±222	±5	±1.8	±1.8	±217	±7	±1.7	±1.9	±219	±1	
11 1 + 2		1053	-1916			1790	-1711				-2085	1251	
12 11 + 3	-35.8	-28.3	919	-747	-665	-50.7	1507	-722			-31	19	
13 12 + 4	-25.2	-22.8	732	-1351	-677	-537	1520	-887			-1930	889	
14 13 + 5	-22.6	-22.5	924	-1523	-55.0	-46.0	1509	-1297	-17.5	-11.8	-1592	1293	
15 14 + 6	-43.6	-36.6	867	-1293	-59.5	-45.8	1507	-1227	-6.1	-46.5	-1447	2487	
16 14 + 7	8.9	-6.1	779	-2270	-21.5	-25.1	1572	-2197	-11.7	-7.9	-1513	1110	
17 14 + 8 + 9	-1.9	-3.3	564	-1205	-11.9	-13.0	1006	-1719	1.5	1.6	-1373	1115	
18 17 + 6	-22.9	-17.4	509	-1316	-11.9	-12.3	1011	-1697	-50.1	-33.1	-1781	2307	
19 17 + 7	29.6	13.1	619	-2552	22.1	7.9	1079	-2619	7.3	5.5	-1827	982	
20 17 + 10 ²⁾	-1.6	-1.7	675	-1308	-11.0	-10.8	1115	-1716	22	7.1	-1753	1116	
21 20 + 6	-22.6	-15.8	620	-1319	-10.5	-10.1	1120	-1699	-9.9	-30.6	-2091	2305	
22 20 + 7	29.7	19.7	730	-2555	23.5	10.1	1183	-2616	8.0	8.0	-1737	983	

本形式構梁の施工方法に関するは、著者の一人により特許申請中であることを付記する。

参考文献

- 赤尾, 杉本：“斜張橋形式の連続合成桁について”, 土木学会関西支部年次学術講演会概要, I-30, 1968.5
- M. Yasumi : "Simplified Treatment according to F. Chichoku of the Effect of Creep and Shrinkage in Composite Girders", Technol. Repts. Osaka Univ. 1965.
- H. Bechart : "Die Vollmittragende Breite bei Plattenbalken", Beton und Stahlbetonbau, Heft 12, 1955.
- 赤尾, 宮脇, 栗田：“偏心軸力が集中的に作用する合成床版の有効幅について”, 土木学会24周年次学術講演会講演集 I-131, 1969.9
- 赤尾, 杉本：“斜張橋形式の連続合成桁”, 大阪工業大学紀要理工篇, Vol 13, 1969.
- 赤尾, 田村：“斜張橋形式の連続合成桁について(Ⅱ報)”, 土木学会24周年次学術講演会講演集 I-154, 1969.9